

有限要素法による幅広いアーチ橋の解析

名古屋大学 学芸員 磯原智郎
名古屋大学 正員 成岡昌夫

1. 緒言

本論文では、シェル内の相対変位が小さく、面内変形と曲げ変形の連成がなされる円筒シェルをアーチ部に持つ幅広いアーチ橋の有限要素法による次元解析を示す。さらに、アーチ橋の場合、床板のみ影響はアーチ内の応力には小さく、床版の曲げモーメントに大きく寄与することと考え、ラズビッチの床版の曲げ剛性、柱のバネ定数が活荷重により床版とアーチに生じる曲げモーメントに与える影響を調べた。

2. シェル要素の変位関数および基礎方程式

ここで用いた変位関数は、Cantin, Clough¹⁾が提案したものである。この変位関数は Bogner²⁾が提案した、面内変位 $u = a_1x + a_2x^2 + a_3y + a_4$, $v = a_5xy + a_6x + a_7y + a_8$, 面外変位 $w = a_9x^2y^2 + a_{10}x^2y + a_{11}x^3y + a_{12}x^3 + a_{13}x^2y^2 + a_{14}x^2y + a_{15}x^2 + a_{16}x^2 + a_{17}xy^2 + a_{18}$.

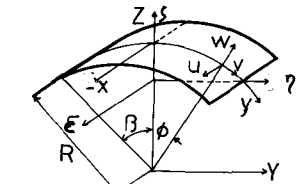


Fig.1. Definition of Geometrical Symbols

$x^2 + a_{19}xy + a_{20}x + a_{21}y^2 + a_{22}y + a_{23}y + a_{24}$ を基にして、解の収束に必要の剛体変位の項を $\delta_5, \delta_6, \delta_7$ の変位の項(1) および微小回転 $(\theta_5, \theta_6, \theta_7)$ による項(2)

$$\begin{cases} u_1 \\ u_2 \\ w_1 \end{cases} = \begin{bmatrix} 1 & 0 & 0 \\ 0 & \cos\phi & -\sin\phi \\ 0 & \sin\phi & \cos\phi \end{bmatrix} \begin{Bmatrix} \delta_5 \\ \delta_6 \\ \delta_7 \end{Bmatrix} \quad (1) \quad , \quad \begin{cases} u_2 \\ u_2 \\ u_2 \end{cases} = \begin{bmatrix} 0 \\ -R(1-\cos\phi\cos\beta) \\ R\sin\phi\cos\beta \end{bmatrix} \begin{bmatrix} \theta_5 \\ \theta_6 \\ \theta_7 \end{bmatrix} \quad (2)$$

を加えおわせた δ に示すものである。

$$\left. \begin{aligned} u &= a_1xy + a_2x + a_3y + a_4 - a_6R\sin\phi - a_{20}R(\cos\phi - \cos\beta) \\ v &= a_5xy + a_6x\cos\phi + a_7y - a_8R(1 - \cos\phi\cos\beta) - a_{20}x\sin\phi + a_{23}\cos\phi - a_{24}\sin\phi \\ w &= a_9x^2y^2 + a_{10}x^2y^2 + a_{11}x^2y + a_{12}x^3 + a_{13}x^2y^2 + a_{14}x^2y^2 + a_{15}x^2y + a_{16}x^2 + a_{17}xy^2 + a_{18}x^2 + a_{19}xy + a_{20}x\cos\phi \\ &\quad + a_{21}y^2 + a_{22}y^2 + a_{23}\sin\phi + a_{24}\cos\phi + a_{25}R\sin\phi\cos\beta + a_{26}x\sin\phi \end{aligned} \right\} (3)$$

節点変位として、 x 軸まわりの回転に曲率半径 R を考慮して $[u_i, v_i, w_i, \partial w_i/\partial x, \partial w_i/\partial y - u_i/R, \partial w_i/\partial x \partial y]$ を用いた。円筒シェル内のひずみ、曲率と変位の関係等は、曲率を考慮して Novozhilov の薄(1)シェル理論の第一上記の剛体変位による付加的なひずみが生じない。

$$\left. \begin{aligned} \epsilon_x &= \partial u/\partial x, \quad \epsilon_y = \partial v/\partial y + w/R, \quad \epsilon_{xy} = \partial u/\partial y + \partial v/\partial x \\ \kappa_x &= -\partial^2 w/\partial x^2, \quad \kappa_y = (1/R)(\partial v/\partial y) - \partial^2 w/\partial y^2, \quad \kappa_{xy} = (2/R)(\partial v/\partial x) - 2\partial^2 w/\partial x \partial y \end{aligned} \right\} (4)$$

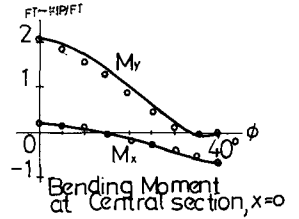
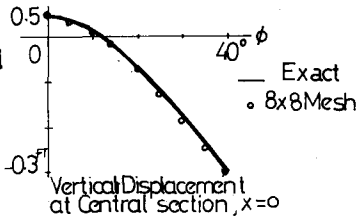
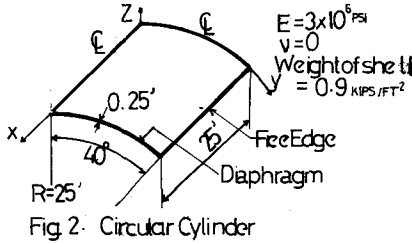
を用いた。

さらに、一般に δ の応力とひずみの関係等は、ヤング率 E , ポアソン比 ν , 板厚 t , 板剛度 K とすれば、

$$\left. \begin{aligned} N_x &= (Et/1-\nu^2)(\epsilon_x + \nu\epsilon_y), \quad N_y = (Et/1-\nu^2)(\epsilon_y + \nu\epsilon_x), \quad N_{xy} = (Et/1-\nu)\epsilon_{xy}/2 \\ M_x &= -K(\kappa_x + \nu\kappa_y), \quad M_y = -K(\kappa_y + \nu\kappa_x), \quad M_{xy} = -K(1-\nu)\kappa_{xy}/2 \end{aligned} \right\} (5)$$

である。

3. 変位関数のための数値計算例



4-1. 解析法 1 - 柱と有しない場合²⁾

図3に示すように、床版とアーチはそれぞれの中点線と接合され、床版からアーチに伝達される力は鉛直力のみとする。まず、床版とアーチを切り離して考える。アーチの $\bar{a}\bar{a}$ に単位荷重を順次作用させ、 $\bar{a}\bar{a}$ 上のたわみ $\{\delta_s^e\}$ を求める。 $\{\delta_s^e\}$ はたわみ性行列であるので、並変換とほとんど剛性行列 $[d_s^e]^{-1}$ を求め、これを床版の剛性行列に加えあわせる。この結果、鉛直力に関する項が、床版とアーチの両方の剛性を持つこととなる。このようにして求めた剛性行列を用いて、床版に載荷したた荷重系における変位、応力を計算する。さらに、不静定力 $\{X\}$ は、先程求めた変位の $\bar{a}\bar{a}$ に沿う $\{W_s\}$ に $[\delta_s^e]^{-1}$ と掛けあわせることにより求めることができる。アーチの変位、応力は単位荷重と載荷したときのたわみ、応力を $\{X\}$ と掛けあわせることにより得ることができる。

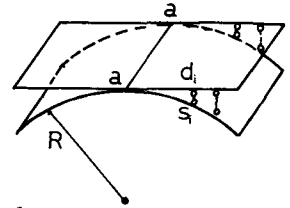


Fig. 3. The Arch Bridge Treated

4-2. 解析法 2 - 柱と有する場合 -

柱の変形は変形前の軸方向のみ、すなわち Z 軸方向のみとする。この手法を本質的には上記と同様である。床版に単位荷重および外荷重を作用させ、 $\bar{a}\bar{a}$ 上および柱との節点 $\{d_i\}$ のたわみ $\{\delta_d^e\}$ を求め、さらにアーチに単位荷重を作用させ、同じ節点の Z 方向のたわみ $\{\delta_z^e\}$ を計算する。柱のバネ係数を k_i とすると不静定力 $\{X\}$ に関して、床版、アーチ、柱のそれぞれに $\{X\}$ の関係式を得る。

$$\{\bar{a}\bar{a}\} = [\delta_d^e]\{X\} + \{\delta_d^0\} \quad (6), \quad \{\bar{d}_i\} = [\delta_z^e]\{X\} \quad (7), \quad \{\bar{k}_i\} = [k_i^{-1}]\{X\} \quad (8)$$

ただし、“-”は床版、アーチ、柱の連性を考えたときの荷重系によるたわみ量である。柱の圧縮量 \bar{z} とし、Z 軸の向きに注意すると、つぎのたわみに関する連続式

$$\{\bar{a}\bar{a}\} = \{\bar{d}_i\} - \{\bar{k}_i\} \quad (9)$$

となる。式(9)に式(6), (7), (8) を代入し $\{X\}$ について解くとつぎのようになる。

$$\{X\} = ([\delta_d^e] - [\delta_d^0] - [k_i^{-1}])^{-1} \{\bar{d}_i^0\} \quad (10)$$

床版、アーチのそれぞれに応力、変位は上記の手法と同様にして求められる。

5. 数値計算例

当日発表する予定です。

参考文献 1. Cantin, G., Clough, R.W. 'A Curved Cylindrical - Shell, Finit Element' AIAA vol. 6. June 1968 pp 1057-1062
2. Sabir, A.B., Ashwell, D.G., 'Finite Element Analysis of A Broad Arch Bridge with A Slab Deck'. Developments in Bridge Design and Construction' pp 161-173